

北大工学部 正員 三浦 清一
 " " 土岐 祥介
 (株) 大林組 " 成田 凡史

[1] まえがき 繰返し応力下における砂地盤の変形特性や液状化特性を推定するためには、まず單調載荷時の応力-ひずみ関係を正確に把握しておくことが必要である。本報告では、既に弾塑性理論によつて求めた排水条件下的応力-ひずみ関係式^{1), 2)}に、弾性ダイレイタシナーの成分を新たに考慮して説明した非排水有効応力経路の予測式ならびにそれと実験値との対比が示されている。

[2] 試料および実験方法 実験に用いた試料は豊浦標準砂 ($G_s = 2.65$, $\epsilon_{max} = 0.992$, $\epsilon_{min} = 0.625$)³⁾ であり、供試体(径 50mm, 高さ 120mm, 相対密度 $D_r = 55\%$)は、全て多重ふるい篩下法(MSP法)⁴⁾で作製した。これらの供試体に CO_2 を通し、引続き脱気水で飽和させたのち、196 kPa のバックアレッジマーを与えている。

この手順で作製した供試体について、1). 等方圧密・膨張試験、2). 平均主応力一定三軸圧縮条件における載荷・除荷試験および3). 等方圧密 ($P_c = 98$, 196, 392 kPa) 側圧一定非排水三軸圧縮試験を実施した。

なお、側圧の変化する試験ではメンブレン貫入補正を行なっている。また、軸圧は三軸セル内に取り付けたロードセルによつて測定した。以下の議論で用いる応力、ひずみパラメータは前報^{1), 2)}の定義と同じである。

[3] 実験結果と考察

3-1. 弾性ダイレイタシナー 任意応力経路下のせん断過程において発生するひずみ $(d\epsilon_{ij})$ は、それが平均主応力の大きさに依存することを考慮することによって、圧密による成分 $(d\epsilon_{ij})_d$ とせん断による成分 $(d\epsilon_{ij})_s$ の線形和で表わせる²⁾。ここで、 $(d\epsilon_{ij})_d$ は平均主応力一定条件で載荷・除荷試験を行なうことにより、その弾性成分 $(d\epsilon_{ij}^e)_d$ と塑性成分 $(d\epsilon_{ij}^p)_d$ に分離できることは²⁾である ($(d\epsilon_{ij})_d = (d\epsilon_{ij}^e)_d + (d\epsilon_{ij}^p)_d$)。

一般に排水条件における応力-ひずみ関係のモデル化に際し、 $(d\epsilon_{ij})_d$ は $(d\epsilon_{ij}^e)_d \ll (d\epsilon_{ij}^p)_d$ であることから無視されている。と

ころが、そのようなモデルを非排水条件へ適用する場合には、特に弾性ダイレイタシナーの成分を評価しておくことが要求される。それは、体積ひずみ成分が非排水条件での微小変形レベルにおける間隙水圧の応答に無視できない影響を及ぼすからである。

平均主応力一定三軸圧縮条件 ($P = P_c = 196$ kPa) の載荷・除荷・再載荷試験から得た応力比 $\gamma (= \sigma/\sigma_c)$ と主ひずみ ϵ_a , ϵ_r との関係が、図-1 に示されている。 $\gamma = 1.15 \leftrightarrow 0$ の除荷・再載荷曲線に着目すると、两者は一致せず明瞭なループが見られる。この事実は、この間で塑性ひずみが新たに生じていること、すなわち降伏点や移動する点を意味している。したがつて、繰返し応力のようにせん断応力の反転を伴なう場合の変形特性のモデル化には、移動硬化理論の適用が要求されるものと考えられる。 $\gamma = 0.3 \leftrightarrow 0$, $0.9 \leftrightarrow 0.65$, $1.3 \leftrightarrow 1.0$ などの γ の小さな除荷・再載荷曲線では、各ひずみはループを描くことなく、かつ除荷・再載荷のサイクル終了時には元の値にはほぼ回復しているようである。このことは除荷開始時の応力比の大きさによらず認められながら、せん断に関する弾性体積ひずみ $(\epsilon_v)_d$ は、各 γ で生じたひず

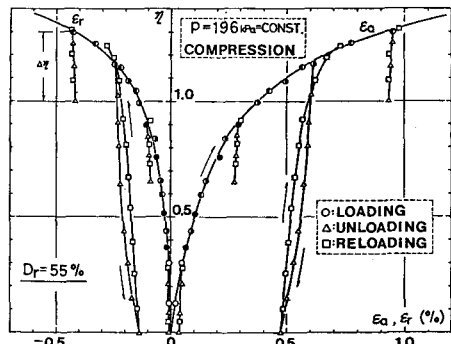


Fig. 1

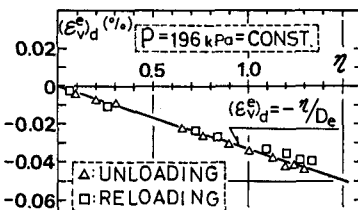


Fig. 2

みを重ね合わせることによって評価できると考えられる。日野・中井⁵⁾は同様の手法を適用し、理論値との比較を示している。

この方法で求めた $(\delta E_v^e)_d$ を η に対してプロットしたのが図-2である。図から、弾性ダイレイタンシーはせん断中常に膨張側であり、かつてとほぼ直線関係にあるものと見做すことができ、式(1)で算出される。なお、等方弾性体のフック則（式(2)）によると $(\delta E_v^e)_d = 0$ となり、上述の弾性ダイレイタンシー現象は説明不可能である。

3-2 圧密による弾性体積ひずみ 図-3, 4 は等方圧密・膨張試験から得た体積ひずみ $(\delta v)_s$ と平均主応力 P との関係を、片対数および両対数上で示したものである。膨張時と再圧密時のひずみは、 P の大きさによらずほぼ一致していることから、これを近似的に弾性ひずみと考えてますまちがいはない。また、通常の応力レベルでは弾性成分 $(\delta E_v^e)_s$ やび塑性成分 $(\delta E_v^p)_s$ も、従来用いられてきている片対数整理 (e -log P) では、その評価が難しいことを図-3 は示している。前報⁶⁾での実験からも明らかなように、圧密に伴なう体積ひずみは、気体の断熱膨張あるいは断熱圧縮の支配方程式 ($pV^\gamma = \text{const.}$) と類似の式形をとる両対数上の整理から算出するのが適切であることが、図-4 より明らかである。したがって、圧密に伴なう弾性体積ひずみは式(3)によつて表わすことができる。

[4] 非排水有効応力経路の予測と実測値との比較 非排水せん断過程においては、常に $dE_v = 0$ である。したがつて、非排水条件を表わす次式によつて有効応力経路の予測が可能である。

$$(\delta E_v^p)_s + (\delta E_v^e)_d = -(\delta E_v^e)_s - (\delta E_v^e)_d \quad \dots (6)$$

弾性ひずみ増分 $(\delta E_v^e)_d$, $(\delta E_v^e)_s$ は式(1), (3)から、塑性ひずみ増分 $(\delta E_v^p)_d$, $(\delta E_v^p)_s$ は式(4), (5)²⁾ からそれぞれ求められ。なお、各ひずみ増分は η やび P に関して全て積分可能である。

図-5 には、表-1 に与えられている各パラメータの値を用ひて予測した非排水三軸圧縮試験の有効応力経路と実測値との対比が示されている。比較的良い一致が見られるようである。なお、破線で示されているように弾性ダイレイタンシーの成分を無視した場合には、微小変形レベルでの発生間隙水圧を過大評価する傾向にあることが明らかである。
〔あとがき〕 非排水有効応力経路の予測においては、弾性ダイレイタンシーの評価を無視できないことが示された。

最後に本研究に

ついて御歓喜頂いた北郷繁教授および実験に協力を得た三浦均也（現大学院生）君に謝意を表する。
〔参考文献〕 1). 三浦・土岐・永田（1981）；第16回 土質工学研究発表会
2). 三浦・土岐・稻（1981）；“”
3). 土質工学会（1979）；土質試験法、第2回改訂版
4). 土岐・三浦（1979）；第24回 土質工学ソシエティ論文集
5). 日野・中井（1980）；第35回 土木学会年次講演会
6). 土岐・三浦・寺山（1977）；第32回 “”

$$(\delta E_v^e)_d = -d\eta/D_e \quad \dots (1)$$

$$dE_v^e = \frac{1}{2G} \left(d\eta - \frac{3\eta}{1+\eta} \delta_{ij} P \right) \quad \dots (2)$$

$$(\delta E_v^e)_s = \eta \left\{ \left(\frac{\eta}{P_0} \right)^{\eta} - \left(\eta - n \right) \left(\frac{\eta}{P_0} \right)^{\eta-n} \right\} \frac{dP}{P} \quad \dots (3)$$

$$(\delta E_v^p)_d = \frac{C_d}{P} \left\{ \left(\frac{P}{G} \right)^{\frac{1-B}{B}} + C_d m A^{\frac{1}{B}} (1-B)(\eta - \eta_0) \right\}^{\frac{B}{1-B}} \quad \dots (4)$$

$$(\delta E_v^p)_s = \eta \left(\eta - n \right) \left(\frac{\eta}{P_0} \right)^{\eta-n} \frac{dP}{P} \quad \dots (5)$$

CONSOLI.	SHEAR.
$k=0.23$	$m=1.2, A=2.6(p/196)^{-0.8}$
$l=0.7$	$C_d=1.0, G=1570(p/196)^{-0.5}$
$n=0.2$	$B=1.57, D_e=3400$

Table 1

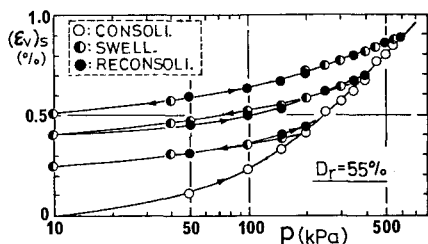


Fig. 3

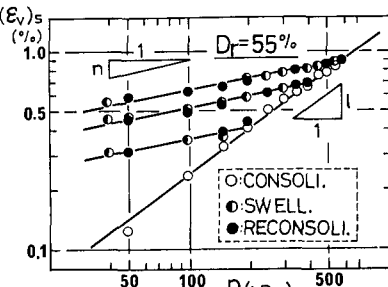


Fig. 4

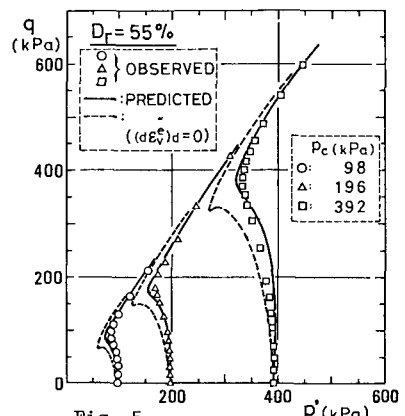


Fig. 5